

КИНЕТИЧЕСКИЕ ЯВЛЕНИЯ В ОДНООСНО ДЕФОРМИРОВАННОМ $p\text{-Hg}_{1-x}\text{Cd}_x\text{Te}$ С $\varepsilon_g > 0$

Германенко А. В., Миньков Г. М., Румянцев Е. Л.,
Рут О. Э., Инишева О. В.

Исследовано влияние одноосного давления $\chi \leq 4.2$ кбар на гальваномагнитные явления в $p\text{-Hg}_{1-x}\text{Cd}_x\text{Te}$ ($x=0.18-0.21$) с $N_A-N_D=(3\div 40)\cdot 10^{15}$ см $^{-3}$ при $T=1.8-300$ К в магнитных полях до 50 кЭ. Показано, что сильное уменьшение коэффициента Холла в магнитном поле, наблюдаемое при малых деформациях и $T < 10$ К, связано с конкуренцией проводимости по примесной зоне и свободными дырками. Так же как и в $p\text{-InSb}$, в $p\text{-HgCdTe}$ энергия ионизации акцепторов уменьшается с ростом давления, обращаясь в нуль при некотором значении $\chi=\chi^*$, но при этом концентрация свободных дырок остается меньше концентрации нескомпенсированных акцепторов. Предполагается, что при $\chi > \chi^*$ уровень Ферми фиксирован на резонансном акцепторном состоянии. Это подтверждается исследованием осцилляций поперечного магнитосопротивления и коэффициента Холла, которые удалось обнаружить при $\chi > 3.5$ кбар.

Влияние одноосного сжатия на кинетические явления и мелкие акцепторные состояния подробно исследовано в $p\text{-Ge}$ [1] и $p\text{-InSb}$ [2]. Было показано, что одноосная деформация приводит к уменьшению энергии ионизации и увеличению характерного размера волновой функции основного состояния акцептора, и эти зависимости неплохо описываются в модели мелкого примесного состояния [3]. В легированных полупроводниках, как показано в [2], такое поведение акцепторных состояний при сжатии может приводить к переходу диэлектрик—металл, когда $N_{\phi\phi}^3$ становится больше 0.02.

В настоящей работе приводятся результаты исследований гальваномагнитных эффектов в одноосно деформированном $p\text{-Hg}_{1-x}\text{Cd}_x\text{Te}$. Измерения коэффициента Холла (R) и удельного сопротивления (ρ) проводились на восьми образцах $\text{Hg}_{1-x}\text{Cd}_x\text{Te}$ с $x=0.18-0.21$, $N_A-N_D=3\cdot 10^{15}-4\cdot 10^{16}$ см $^{-3}$ в диапазоне температур 1.8—300 К в магнитных полях до 50 кЭ. Одноосное давление (χ) до 4 кбар прикладывалось вдоль длинной стороны образцов ($\chi \parallel \mathbf{j} \perp \mathbf{H}$), имеющих типичные размеры $0.7 \times 0.7 \times 7$ мм и ориентированных в направлениях [111] и [110]. Состав исследованных образцов определялся по значению концентрации электронов при $T=300$ К, а $k=N_D/N_A$ и N_A-N_D — из анализа температурных зависимостей R [4]. В работе подробно рассматриваются результаты, полученные на двух образцах, параметры которых приведены в таблице.

Параметры исследованных образцов

№ образца	x	ε_g , мэВ ($T=4.2$ К)	N_A/N_D , см $^{-3}$	$k=N_D/N_A$	$\varepsilon_A(\chi=0)$, мэВ	χ^* , кбар	$\frac{N_A-N_D}{\rho(\chi=\chi^*)}$, ($T=4.2$ К)
1	0.205	68	$3.5 \cdot 10^{15}$	0.5	6.3	2.7	55
2	0.18	25	$3.5 \cdot 10^{16}$	≤ 0.1	4.2	1.8	220
3	InSb	235	$4.5 \cdot 10^{15}$	0.2	7.5	3.3	15

Температурные зависимости R (10 кЭ) при $\chi=0$ ¹ и $R(H \rightarrow 0)=R_0$ при наличии деформации для образца 1 приведены на рис. 1. Видно, что в отсутствие деформации R и ρ экспоненциально зависят от температуры и вплоть до $\rho \approx \approx 10^5$ Ом·см не наблюдается перехода к проводимости по примесной зоне. Такое поведение отличается от результатов, полученных при исследовании p -InSb с близким уровнем легирования [2], где по характерному излому на зависимости $\lg \rho(1/T)$ и максимуму на зависимости $\lg R(1/T)$, наблюдаемым как при $\chi=0$, так и при $\chi \neq 0$, удавалось легко выделить области, связанные с проводимостью по примесям и свободными дырками.

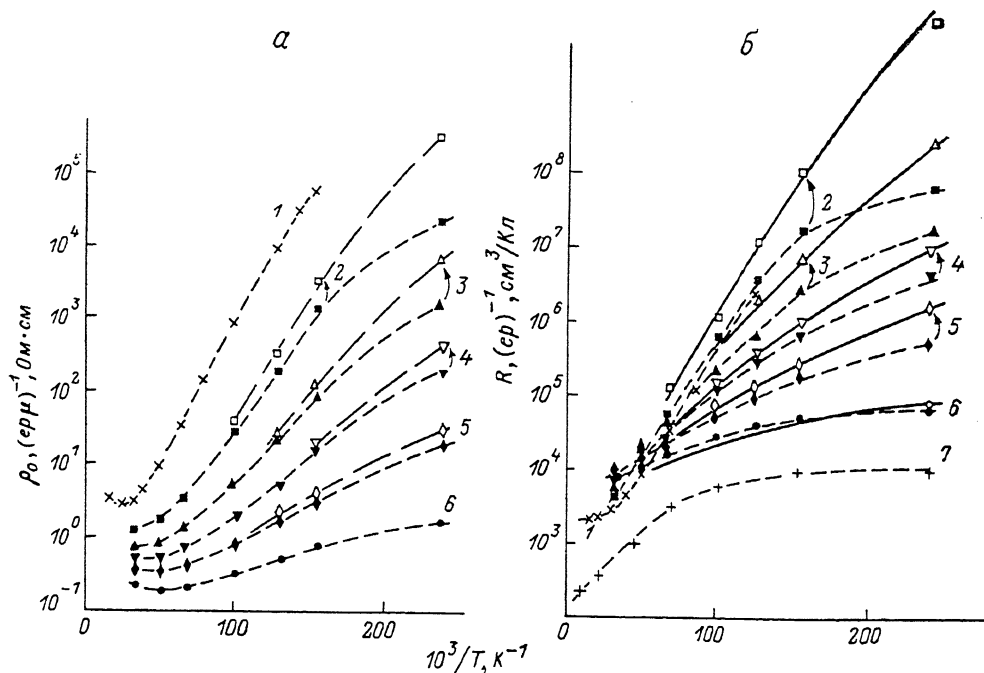


Рис. 1. Температурные зависимости удельного сопротивления (а) и коэффициента Холла (б) для образцов 1 (1—6) и 2 (7).

Темные точки — экспериментальные значения R_0 при $\chi \neq 0$, R (10 кЭ) при $\chi=0$ и ρ_0 , светлые — значения $(\text{cm}\mu)^{-1}$ и $(\text{cm}^3/\text{Kл})^{-1}$, полученные из обработки полевых зависимостей R и ρ_1 , как это описано в тексте. Штриховые линии проведены по экспериментальным данным, сплошные — зависимость $[e\rho(T)]^{-1}$, где $\rho(T)$ получено при решении уравнения электронейтральности. χ , кбар: 1 — 0; 2 — 1.0; 3 — 1.5; 4 — 1.8; 5 — 2.2; 6 — 2.7; 7 — 2.18.

Экспоненциальная зависимость R и ρ от температуры, наблюдаемая при $\chi=0$, и классическая для материалов p -типа полевая зависимость R показывают, что явления переноса в HgCdTe определяются свободными носителями, что дает возможность из температурной зависимости их концентрации определить энергию ионизации акцепторных состояний [4].

При наличии деформации считать, что концентрация свободных дырок равна $(eR)^{-1}$, не позволяет сильная полевая зависимость R в слабых магнитных полях $H < 10-15$ кЭ, которая наблюдается при промежуточных деформациях и низких температурах, что, например, для образца 1 соответствует $\chi=0.5-2.5$ кбар и $T \leq 10$ К (рис. 2, а).

Обсудим механизмы, которые могут приводить к сильной зависимости коэффициента Холла от магнитного поля.

Ясно, что уменьшение R в магнитном поле в деформированных образцах не связано с вкладом легких и тяжелых дырок, как при $\chi=0$, поскольку расщепление валентной зоны при одноосном давлении столь велико ($2\Delta \approx 12$ мэВ

¹ Коэффициент Холла при $H < 10$ кЭ в отсутствие деформации уменьшается в 1.5—2 раза, что связано с вкладом легких дырок, поэтому концентрация свободных дырок равна $[eR(10 \text{ кЭ})]^{-1}$, а не $[eR_0]^{-1}$.

при $\chi=1$ кбар [5]), что при низких температурах носители заселяют лишь верхнюю из расщепившихся зон.

Сильная полевая зависимость R , кроме того, может быть связана либо с большим значением холл-фактора r [в этом случае $R_0=r(ep)^{-1}$, а в класси-

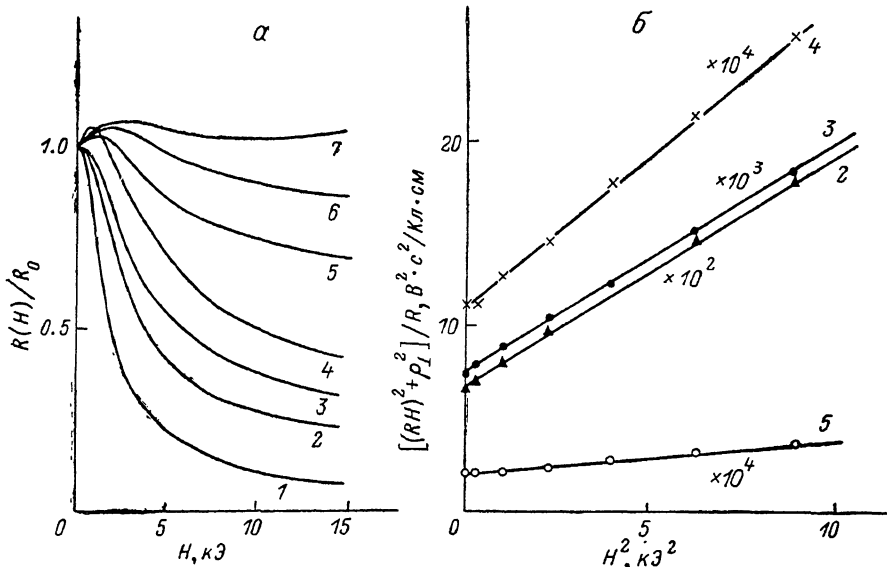


Рис. 2. Зависимости $R(H)/R_0$ от магнитного поля (а) и зависимости $[(RH)^2 + \rho_{\perp}^2]/R$ от H^2 (б) для образца 1 при $\chi=1$ кбар.

T, K : 1 — 4.2; 2 — 6.5; 3 — 8.0; 4 — 10.0; 5 — 15.0; 6 — 20.0; 7 — 30.0.

чески сильном магнитном поле $R=(ep)^{-1}$], либо с конкуренцией двух типов проводимости — свободными дырками и носителями в примесной зоне.

Значение холл-фактора при одноосном давлении можно оценить, считая, что изоэнергетические поверхности вблизи потолка валентной зоны близки к эллипсоидам. В этом случае $r = \langle \tau_{\perp}^2 / m_{\perp}^2 \rangle / \langle \tau_{\perp} / m_{\perp} \rangle^2$ [6], где $m_{\perp} = \hbar^2 (\partial^2 \epsilon / \partial k_{\perp}^2)^{-1}$, а $\epsilon(k)_{\perp}$ является решением уравнения Шредингера с гамильтонианом Латтинжера с учетом одноосной деформации [3].

Проведенные таким способом расчеты величины холл-фактора в предположении степенной зависимости времени релаксации импульса от энергии $\tau_{\perp} = \tau_0 \epsilon^s$ показывают, что из-за резкой зависимости $m_{\perp}(\epsilon)$ (рис. 3) r в деформированных кристаллах может достигать боль-

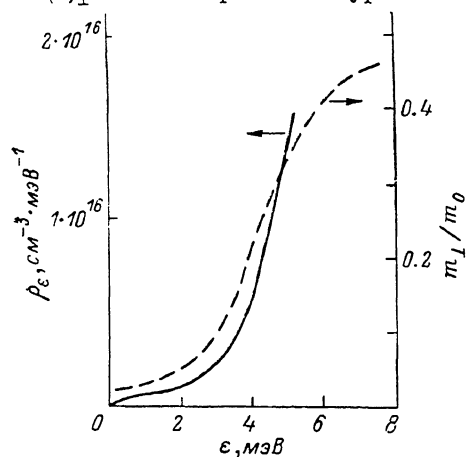


Рис. 3. Зависимости плотности состояний и поперечной эффективной массы от энергии, рассчитанные с параметрами, соответствующими образцу 1.

$\chi=1.5$ кбар. Энергия отсчитывается от потолка валентной зоны.

ших значений. [В расчетах были использованы параметры: энергетический эквивалент межзонного матричного элемента $E_p = 17.8$ эВ; $\gamma_1 = (E_p / 3\epsilon_p) + 2$, $\gamma = E_p / 6\epsilon_p$, так что $m_h / m_0 = (\gamma_1 - 2\gamma)^{-1} = 0.5$]. Однако во всех случаях $r(T)$ при $T \lesssim 10-15$ К падает при понижении температуры, в то время как экспериментально наблюдаемая полевая зависимость R усиливается (рис. 2, б). Остается предположить, что сильная полевая зависимость R связана с конкуренцией двух механизмов проводимости: свободными дырками (σ_{ij}^{ev}) и носителями в при-

мешной зоне (σ_{ij}^{np}). Если считать, что $\sigma_{ij}^{np} \ll \sigma_{ij}^{cb}$, то с понижением температуры, когда σ_{xx}^{np} станет больше σ_{xx}^{cb} , коэффициент Холла $R = \frac{1}{H} \frac{\sigma_{xy}}{\sigma_{xx}^2 + \sigma_{xy}^2}$ будет уменьшаться с ростом магнитного поля. Используя явный вид для $\sigma_{xy}^{cb} = H e r \mu^2 / (1 + \mu^2 H^2)$, легко получить соотношение $[(RH)^2 + \rho_{\perp}^2] / R = (H^2 / e r) + (e r \mu^2)^{-1}$. Вообще говоря, это выражение получено для изотропного случая. Однако оно будет справедливым и при наличии анизотропии, когда $\sigma_{xx}^{np} > \sigma_{xx}^{cb}$, σ_{xy}^{cb} . Таким образом, если концентрация свободных носителей не зависит от магнитного поля, то зависимость величины $[(RH)^2 + \rho_{\perp}^2] / R$ от H^2 должна быть линейной. Как видно из рис. 2, б, экспериментальные зависимости $[(RH)^2 + \rho_{\perp}^2] / R = f(H^2)$ действительно линейны, что дает возможность по наклону и точке экстраполяции к $H=0$ определить концентрацию свободных дырок p и их подвижность, а также вы-

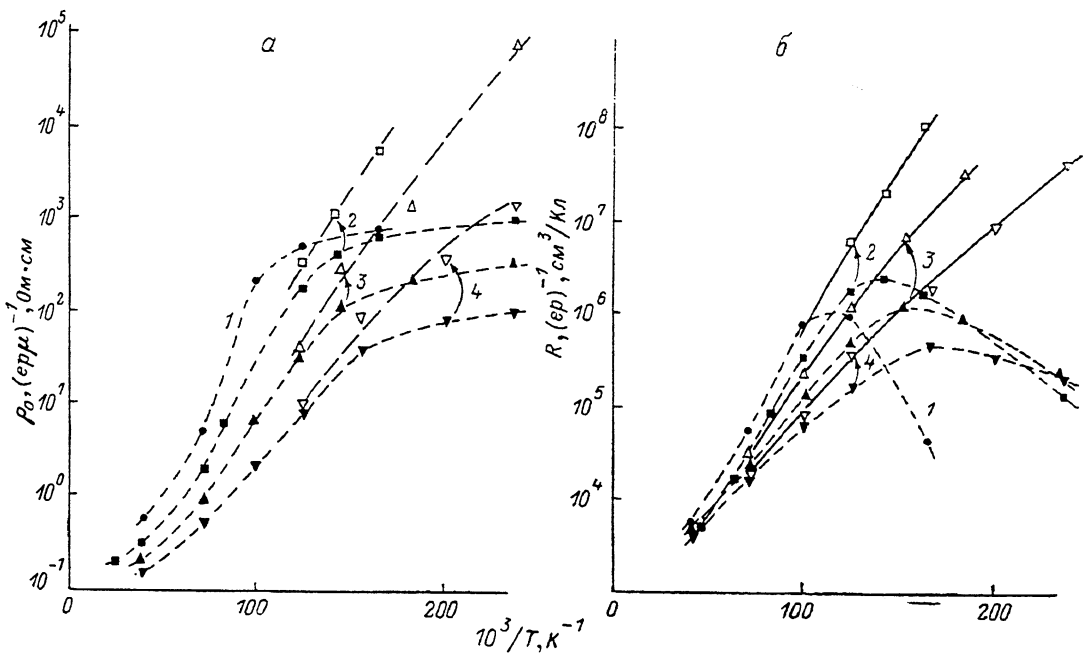


Рис. 4. Температурные зависимости ρ_0 , $(e r \mu)^{-1}$ (а) и R , $(e r)^{-1}$ (б) для p -InSb (образец 3).
Обозначения такие же, как на рис. 1. χ , кбар: 1 — 0; 2 — 0.82; 3 — 1.47; 4 — 2.12.

делить вклады проводимостей обоих типов. Полученные при такой обработке экспериментальных результаты значения $(e r)^{-1}$ и $\rho_{cb} = (e r \mu)^{-1}$ приведены на рис. 1 и, как видно, значительно отличаются от экспериментальных значений R_0 и ρ_0 при низких температурах и промежуточных давлениях.

Для проверки правильности такой интерпретации и обработки экспериментальных результатов были проведены дополнительные исследования $R(H, T)$ и $\rho(H, T)$ в одноосно деформированном p -InSb с близким уровнем легирования (см. таблицу). Из рис. 4 видно, что в p -InSb как в отсутствие деформации, так и при $\chi \leq 2.5$ кбар на зависимости $\lg \rho(1/T)$ наблюдается излом, а на зависимости $\lg R(1/T)$ — максимум при $T = T_0 = 6 - 10$ К [2, 7]. Ясно, что такие температурные зависимости связаны с переходом при понижении температуры от проводимости свободными дырками к проводимости по примесной зоне. При $T < T_0$, так же как и в p -HgCdTe при низких температурах, наблюдается сильная полевая зависимость R . Найденные из этой зависимости значения $(e r)^{-1}$ приведены на рис. 4, б. Зная $p(T)$, можно, решая уравнение электронейтральности с учетом зависимости плотности состояний валентной зоны от деформации (рис. 3) и используя значения $N_A - N_D$ и k из таблицы, определить энергию ионизации акцептора аналогично тому, как это было сделано в [2]. При этом как в p -HgCdTe, так и в p -InSb рассчитанная зависимость concentra-

ции дырок от температуры хорошо совпадает с экспериментальной не только в той области температур, где R практически не зависит от магнитного поля, но и при низких температурах и промежуточных деформациях, когда наблюдается сильная полевая зависимость (рис. 1, 4).

Итак, можно сделать вывод, что сильная полевая зависимость R , наблюдаемая в p -HgCdTe и p -InSb при низких температурах в области малых деформаций, связана с конкуренцией проводимости свободными дырками и проводимости по примесной зоне. Отсутствие характерного для перехода к проводимости по примесной зоне максимума на зависимости $R(T)$ в p -HgCdTe в исследованном диапазоне температур связано, на наш взгляд, с меньшей разницей в энергиях активации проводимости свободными носителями заряда (ϵ_1) и носителями в примесной зоне (ϵ_3) по сравнению с аналогичными по легированию образцами p -InSb. Такое соотношение ϵ_1 и ϵ_3 связано с большим значением ϵ_3 , поскольку в твердых растворах, каким является HgCdTe, флуктуации состава приводят к дополнительному увеличению ϵ_3 [8].² Большее значение ϵ_3 в p -HgCdTe приводит, на наш взгляд, и к тому, что при $\chi=0$ переход к проводимости по примесной зоне не наблюдается до значений ρ , на 2 порядка больших, чем в аналогичных по легированию материалах p -InSb, хотя эффективный радиус, характеризующий поведение волновой функции на больших расстояниях $a \approx \hbar (2m_i \epsilon_A)^{-1/2}$, где m_i — эффективная масса легкой дырки, в $Hg_{1-x}Cd_xTe$ с $x \approx 0.2$ больше, чем в InSb.

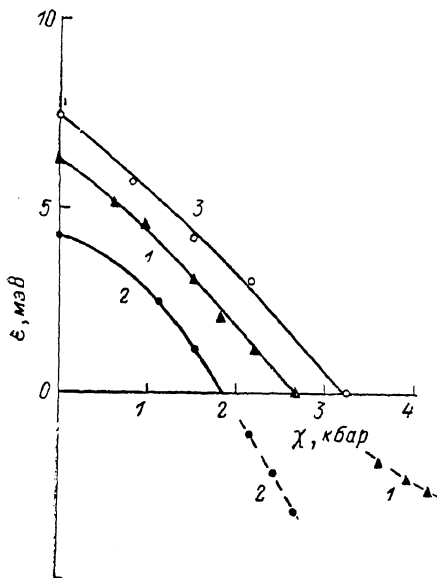


Рис. 5. Энергия акцепторного уровня, отсчитанная от потолка валентной зоны, в зависимости от давления.

Точки в области отрицательных энергий соответствуют резонансному положению акцепторного уровня. Номера образцов: 1 — 1, 2 — 2, 3 — 3.

Энергия ионизации акцепторов в $Hg_{1-x}Cd_xTe$, так же как в InSb, при $\chi=0$ в наиболее чистых образцах близка к $4/9 E_B$ (E_B — боровская энергия тяжелой дырки), уменьшается с легированием и ростом деформации, а при $\chi^* = 2.7$ кбар для образца 1 и $\chi^* = 1.8$ кбар для образца 2 ϵ_A обращается в нуль (рис. 5).

К сожалению, в HgCdTe сравнить предельную по деформации энергию ионизации мелкого акцептора (ϵ_A^∞) с теоретическим значением, которое равно энергии примесного состояния, отщепленного кулоновским центром от анизотропной зоны с $m_{\parallel} = (\gamma_1 + 2\gamma)^{-1} m_0$ и $m_{\perp} = (\gamma_1 - \gamma)^{-1} m_0$ [3], не удастся, поскольку в HgCdTe с $\epsilon_p \approx 100$ мэВ $\epsilon_A^\infty \approx 1$ мэВ, $a_{\parallel} \approx 6 \cdot 10^{-6}$ см, $a_{\perp} \approx 3 \cdot 10^{-6}$ см, так что уже при $N_A \approx 4 \cdot 10^{14}$ см⁻³ выполняется условие перехода диэлектрик—металл $N_A a^2 a_{\parallel} \approx 0.02$.

Начальная скорость уменьшения энергии ионизации определяется отношением величин расщепления валентной зоны и акцепторного состояния (t) [3]. Значение t , определенное нами из зависимости $\epsilon_A(\chi)$ в наиболее чистых образцах (рис. 5) для HgCdTe, оказывается равным 0.6—0.7, что согласуется с экспериментальными результатами, полученными при исследовании p -InSb [2], и с результатами расчетов, выполненных для Ge [3].

Таким образом, зависимость энергии основного состояния акцептора от

² Оценки показывают, что даже без учета кластеризации энергия активации ϵ_3 , связанная с этим механизмом, должна быть 1.0—1.2 мэВ.

одноосной деформации аналогична зависимости, полученной в [2] для InSb, и согласуется с моделью мелкого примесного состояния.³

Рассмотрим результаты, полученные при тех деформациях, когда энергия акцептора обратилась в нуль, т. е. при $\chi \geq \chi^*$. При этих давлениях в области температур 1.8—10 К исчезают зависимость $R_0(T)$ и уменьшение коэффициента Холла в малых магнитных полях, связанное с конкуренцией проводимости по примесной зоне и свободными дырками, поэтому можно считать, что концентрация свободных дырок равна $(eR_0)^{-1}$. Так же как и в одноосно деформированном p-InSb [2], концентрация свободных дырок при $\chi = \chi^*$ и $T = 4.2$ К значительно меньше, чем величина $N_A - N_D$, причем отношение $(N_A - N_D)/p(\chi^*)$ в образце с меньшим значением ε_p , а значит, и меньшей плотностью состояний у потолка валентной зоны в 4 раза больше, чем в образце 1 (см. таблицу и рис. 1). Для объяснения такого поведения концентрации свободных дырок при $\chi \geq \chi^*$ необходимо предположить, что часть носителей локализована (в том смысле, что дает значительно меньший вклад в явления переноса, чем свободные дырки). Экспериментально полученную зависимость концентрации дырок от температуры удастся описать, предполагая, что локализованные состояния расположены на фоне непрерывного спектра.

Вывод о том, что при $\chi \geq \chi^*$ дырочный газ вырожден, но при этом часть носителей локализована, подтверждается и исследованиями осцилляций магнитосопротивления и коэффициента Холла, которые удалось обнаружить в образце 1 при $\chi \geq 3.5$ кбар. С ростом давления расстояние между осцилляционными максимумами увеличивается и они сдвигаются в высокие магнитные поля (рис. 6, а, б). Сравним положение наблюдаемых максимумов магнитосопротивления с теоретически рассчитанным. Для этого необходимо знать энергии уровней Ландау и зависимость $\varepsilon_F(\chi)$. Положение уровней Ландау при $\mathbf{H} \perp \chi$ рассчитывалось согласно [9]. Обращают на себя внимание следующие особенности (рис. 6, в): положение верхнего уровня Ландау практически не зависит от магнитного поля, а остальные уровни группируются парамп. Это можно легко понять, рассмотрев энергетический спектр при предельно больших деформациях ($2\Delta \gg \varepsilon$). В этом случае в гамльтониане Латтинжера можно пренебречь недиагональными элементами [10]. В магнитном поле энергетический спектр верхней из расщепившихся зон при $\chi \parallel Oz$, $\mathbf{H} \parallel Ox$, $k_x = 0$ является решением уравнения Шредингера с гамльтонианом

$$\hat{H} = \frac{\hbar^2}{2m_0} \begin{pmatrix} -(\gamma_1 + 2\gamma) \left(\frac{a^+ - a}{2}\right)^2 + (\gamma_1 - \gamma) \left(\frac{a^+ + a}{2}\right)^2 & i \frac{2e}{c\hbar} kH \\ -i \frac{2e}{c\hbar} kH & -(\gamma_1 + 2\gamma) \left(\frac{a^+ - a}{2}\right)^2 + (\gamma_1 - \gamma) \left(\frac{a^+ + a}{2}\right)^2 \end{pmatrix},$$

где $a^+ = \frac{1}{\sqrt{2}}(k_y + ik_x)$, $a = \frac{1}{\sqrt{2}}(k_y - ik_x)$ — операторы рождения, уничтожения, k — параметр Латтинжера, а энергия отсчитывается от потолка валентной зоны. Решения уравнения имеют вид

$$\varepsilon_N^{\pm} = \left\{ \left(N + \frac{1}{2} \right) [(\gamma_1 - \gamma)(\gamma_1 + 2\gamma)]^{1/2} \pm k \right\} \frac{\hbar e H}{m_0 c},$$

где $N = 0, 1, 2, \dots$. Отсюда видно, что в пренебрежении вкладом удаленных зон, т. е. когда $k = \gamma = E_p/6\varepsilon_p$, $\gamma_1 = E_p/3\varepsilon_p$, спиновое расщепление в точности равно орбитальному.

Вычисленные значения магнитных полей, при которых уровень Ферми, определенный из концентрации свободных дырок $p = (eR_0)^{-1}$ и плотности состояний, соответствующей данной деформации, пересекает уровни Ландау, приведены на рис. 6, б. Таким образом, хорошее согласие рассчитанных и экспериментально наблюдаемых положений максимумов $\rho_{\perp}(H)$ показывает, что

³ Этот вывод подтверждается и поведением энергии понижения акцепторов в магнитном поле: ε_A растет с увеличением H , а при больших деформациях, когда при $H=0$ уже произошел переход диэлектрик—металл, магнитное поле отщепляет акцепторные состояния, когда $N_A a_1 \lambda^2 \approx 0.02$.

коэффициент Холла действительно определяется концентрацией свободных дырок, которая при $\chi=3.5-4.0$ кбар все еще в 2—3 раза меньше концентрации нескомпенсированных акцепторов. Следует отметить, что амплитуды осцилляций $\rho_{\perp}(H)$ и $R(H)$ близки (рис. 6, а). Этот факт, как и близкое положение максимумов по магнитному полю, на наш взгляд, свидетельствует о фиксации уровня Ферми в магнитном поле.

Выводы. Проведенные исследования гальваномагнитных эффектов в $p\text{-HgCdTe}$ с $\varepsilon_g > 0$ показывают, что в этих кристаллах, так же как в $p\text{-InSb}$, энергия

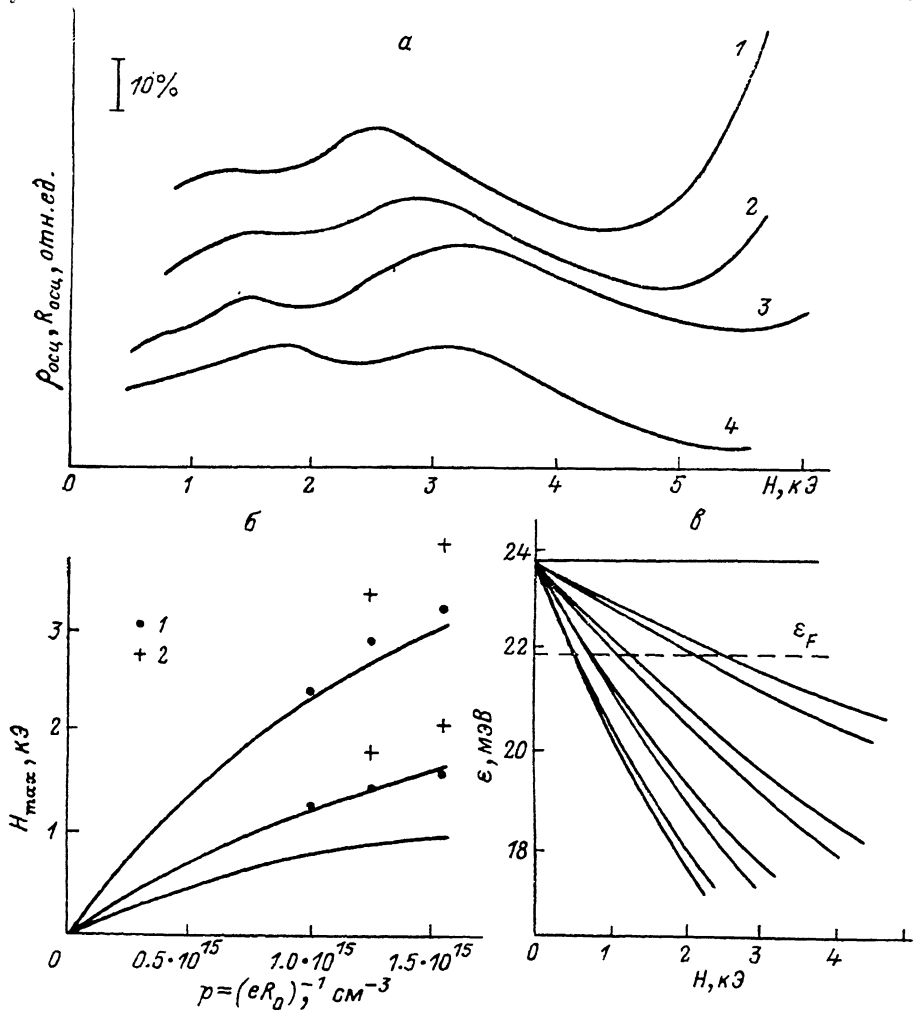


Рис. 6. Осциллирующая часть поперечного магнитосопротивления (1—3) и коэффициента Холла (4) для образца 1 при $T=2$ К (а); зависимость положения максимумов ρ_{\perp} (1) и R (2) от концентрации свободных носителей, изменяющейся с ростом давления (б); положение ε уровней Ландау при $\chi \perp H$ и энергия Ферми при $\chi=3.9$ кбар (в).

а) χ , кбар: 1 — 3.6; 2 — 3.9; 3, 4 — 4.2. б) χ , кбар: 1 — 3.6; 2 — 3.9; кривые — результат теоретического расчета (см. текст). в) параметры соответствуют образцу 1.

ионизации акцепторных состояний уменьшается с ростом давления. Сильное уменьшение коэффициента Холла в магнитном поле, наблюдаемое при малых деформациях и низких температурах, связано с конкуренцией проводимости по примесной зоне и свободными носителями заряда. При некоторой деформации, зависящей от уровня легирования, энергия ионизации акцепторов обращается в нуль, но при этом концентрация свободных дырок остается много меньше концентрации нескомпенсированных акцепторов. Исследования осцилляций магнитосопротивления и коэффициента Холла подтверждают этот вывод и свидетельствуют о том, что уровень Ферми фиксирован в магнитном поле

на резонансном акцепторном состоянии. Необходимость предположить существование резонансного состояния как в HgCdTe, так и в InSb свидетельствует о том, что это состояние не связано со спецификой конкретного материала, а определяется особенностями спектра вырожденной валентной зоны при одноосной деформации.

Список литературы

- [1] John J. Hall. // Phys. Rev. 1962. V. 128. N 1. P. 68—75.
- [2] Германенко А. В., Мишьяков Г. М., Рут О. Э. // ФТП, 1987. Т. 21. В. 11. С. 2006—2012.
- [3] Бир Г. Л., Пикус Г. Е. Симметрия и деформационные эффекты в полупроводниках. М., 1972. 584 с.
- [4] Елизаров А. И., Кружаев В. В., Мишьяков Г. М., Никитин М. С., Рут О. Э. // ФТП. 1987. Т. 21. В. 3. С. 472—476.
- [5] Германенко А. В., Мишьяков Г. М., Румянцев Е. Л., Рут О. Э. // ЖЭТФ. 1988. Т. 94. В. 8. С. 242—254.
- [6] Аскеров Б. М., Электронные явления переноса в полупроводниках. М., 1985. 315 с.
- [7] Германенко А. В., Мишьяков Г. М., Румянцев Е. Л., Рут О. Э. // ФТП. 1988. Т. 22. В. 7. С. 1158—1162.
- [8] Шлимак И. С., Эфрос А. Л., Янчев И. Я. // ФТП. 1977. Т. 11. В. 2. С. 257—261.
- [9] Румянцев Е. Л., Рут О. Э. // ФТП. 1988. Т. 22. В. 8. С. 1341—1347.
- [10] Price P. J. // Phys. Rev. 1961. V. 124. N 3. P. 713—716.

Уральский государственный университет
им. А. М. Горького
Свердловск

Получена 10.06.1988
Принята к печати 28.11.1988